

НЕСТАЦИОНАРНАЯ ТЕОРИЯ СИЛЬНОТОЧНОГО РЕЛЯТИВИСТСКОГО ГИРОТРОНА

В.В. Богданов, М.В. Кузелев

Развита самосогласованная нестационарная теория релятивистского сильноточного гиротрона с нефиксированной продольной структурой высокочастотного поля. Численно исследованы различные режимы работы гиротрона.

При расчете КПД и оптимизации параметров слаботочных электронных приборов СВЧ широко используется приближение заданного поля /1/. Считается, что электроны пучка движутся в заданном поле "холодной" электродинамической системы, причем частота и профиль высокочастотного поля фиксированы. По мере увеличения плотности пучка все большую роль начинают играть собственные колебания электронов в поле пространственного заряда. При этом в релятивистском гиротроне с увеличением тока пучка начинает развиваться неустойчивость отрицательной массы, что приводит к резкому падению эффективности излучения /2,3/. В данной работе рассмотрен промежуточный случай. С одной стороны, плотность пучка считается достаточно большой, и необходимо учитывать самосогласованное изменение продольной структуры высокочастотного поля в резонаторе гиротрона. С другой стороны, пренебрегается высокочастотным пространственным зарядом.

Развитая ниже теория позволяет самосогласованным образом определить зависимость высокочастотного поля от продольной координаты и времени и тем самым установить при каких условиях осуществляется стационарный режим генерации. Кроме того, определен стартовый ток и время включения гиротрона.

Гиротрон представляет собой отрезок круглого волновода радиусом R_0 и длиной L_0 . С одного конца при $z = 0$ волновод закрыт металлической фольгой, прозрачной для электронов. К другому его концу при $z = L_0$ присоединен плавно расширяющийся рупор длиной L_1 . Внешнее постоянное магнитное поле B_0 направлено параллельно оси волновода. Тонкий трубчатый электронный пучок радиусом R_b инжектируется в волновод с плоскости $z = 0$. Электроны пучка в этой плоскости имеют компоненты импульса $P_{\parallel 0}$, $P_{\perp 0}$ соответственно вдоль и поперек магнитного поля. Пролетая путь L_0 , они выводятся на стенку.

Рассмотрим возбуждение электронным пучком моды TE_{13} , которая является рабочей в экспериментах /4,5/. Зависимость компоненты H_z от координат (r , φ , z) и времени представим следующим образом:

$$H_z = J_1(k_{\perp 0}r) \cos \varphi R e F(z, t) \exp(-i\omega t),$$

где F — медленная по сравнению с $\exp(-i\omega t)$ функция времени. Частоту ω будем считать равной частоте отсечки волновода $k_{\perp 0}c$, где $k_{\perp 0} = \mu/R_0$; $\mu = 8,54$ для моды TE_{13} .

Введем безразмерные координату $\xi = k_{\perp 0}z$ и время $\tau = \omega t$. Уравнения для безразмерной амплитуды поля $f = -(|e|/\omega mc) J_1(x_b) F$, где $x_b = k_{\perp 0}R_b$, в волноводе и в рупоре представим в виде:

$$\begin{aligned} & \left(\frac{\partial^2}{\partial \xi^2} + 2i \frac{\partial}{\partial \tau} \right) f = - \frac{iG}{\langle \beta_{\parallel} \rangle} \int_0^{2\pi} \frac{d\chi_0}{2\pi} \frac{\eta_1}{\gamma} e^{i\chi}, \quad \xi \leq \xi_0 = k_{\perp 0}L_0, \\ & \left(1 - \frac{R_0^2}{R^2(\xi)} + \frac{\partial^2}{\partial \xi^2} + 2i \frac{\partial}{\partial \tau} \right) f = 0, \quad \xi_0 \leq \xi < \xi_1 = \xi_0 + k_{\perp 0}L_1. \end{aligned} \tag{1}$$

Уравнения движения электронов запишем следующим образом:

$$\begin{aligned} \frac{d\xi}{d\tau} &= \frac{\eta_{||}}{\gamma}; \quad \frac{d\eta_{||}}{d\tau} = \frac{\eta_{\perp}}{\gamma} \operatorname{Im} \left(\frac{\partial f}{\partial \xi} e^{-ix} \right); \\ \frac{d\eta_{\perp}}{d\tau} + i\eta_{\perp} &= \frac{1}{2} f^* e^{ix} + i \frac{\eta_{||}}{2\gamma} \frac{\partial f^*}{\partial \xi} e^{ix}; \\ \frac{d\chi}{d\tau} &= 1 - \frac{d\sigma}{d\tau} - \frac{\Omega}{\gamma\omega}. \end{aligned} \quad (2)$$

Здесь I – ток пучка; $R(\xi)$ – радиус рупора, геометрический фактор $G = 8(|e|/mc^3) J_1^2(x_b)/J_1^2(\mu) (\mu^2 - 1)$; $\Omega = |e|B_0/mc$; $\eta_{||,\perp} = p_{||,\perp}/mc$ – безразмерные компоненты импульса; $\gamma = \sqrt{1 + \eta_{||}^2 + \eta_{\perp}^2}$; $\langle \beta_{||} \rangle = \langle \eta_{||}/\gamma \rangle$ – среднее значение продольной безразмерной скорости; x, σ – фазы.

Границные условия для уравнений (1) имеют вид:

$$f|_{\xi=0} = 0; \left(\frac{\partial f}{\partial \xi} - ikf \right) \Big|_{\xi=\xi_1} = 0, \quad (3)$$

где $k = [1 - R_0^2/R^2(\xi_1)]^{1/2}$. Последнее условие является приближенным, поскольку частота излучения точно не известна. Однако при выполнении неравенства $|\partial f/\partial \tau| \ll 1$, что предполагалось при выводе (1), граничное условие (3) на краю рупора является хорошим приближением. Уравнения (1), (2) совпадают с соответствующими уравнениями работ /6,7/ при $|f| = \text{const}$, т.е. в стационарном режиме излучения.

Закон сохранения энергии в системе согласно (1) записывается в виде

$$\frac{\partial}{\partial \tau} \int_0^{\xi_1} |f|^2 d\xi = -k|f|^2 \Big|_{\xi_1} - 2 \int_0^{\xi_0} \operatorname{Re}(Jf^*) d\xi,$$

где J – правая часть уравнения (1) при $\xi \leq \xi_0$. КПД генерации в гиротроне определялся из усредненной по начальной фазе χ_0 потере кинетической энергии электронами при пролете волновода, т.е. в точке $\xi = \xi_0$.

Ниже приведены результаты численных расчетов для следующих значений параметров системы: $R_0 = 1$ см (что соответствует длине волны 7,5 мм), $R(\xi_1) = 1,13$ см; $x_b = 6,9$ (инжекция пучка осуществляется в третий максимум поля E_φ); $L_0 = 3$ см, $L_1 = 1$ см; $I = 0,5$ кА; начальное значение релятивистского фактора $\gamma_0 = 1,75$, причем $p_{\perp 0} = p_{||0}$. Из рис. 1 (кривая а) видно, что по достижении КПД максимума осуществляется стационарный режим генерации. Поле возбуждаемой пучком волны максимально в центре

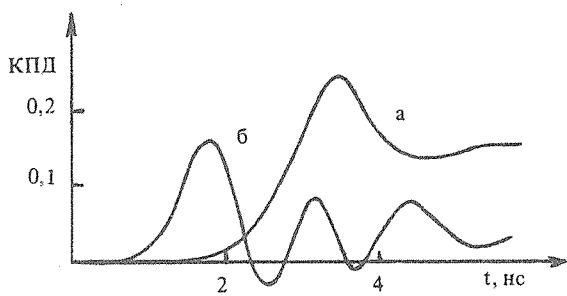


Рис. 1. Зависимость КПД от времени при $\Omega/\gamma_0 \omega = 0,9$ (а); 1,0 (6).

волновода (рис. 2). Однако его профиль отличается от гауссова, который часто принимается в расчетах. Отметим, что в нестационарном режиме возбуждения волна распространяется в обе стороны от центра, приводя к модуляции электронного пучка (рис. 3 кривая а). В стационарном режиме волна распространяется только в сторону рупора и излучается (рис. 3 кривая б). Однако в импульсных системах стационарный режим генерации достигается далеко не всегда (рис. 1 кривая б). Таким образом, строгая теория импульсного сильноточного гиротрона должна быть нестационарной.

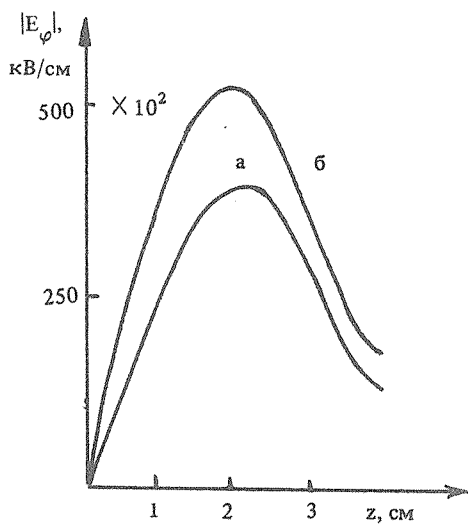


Рис. 2. Зависимость амплитуды поля E_φ от z при $r = R_b$; $\Omega/\gamma_0 \omega = 0,9$ в момент времени $t = 3,6$ нс (а); 6 нс (б).

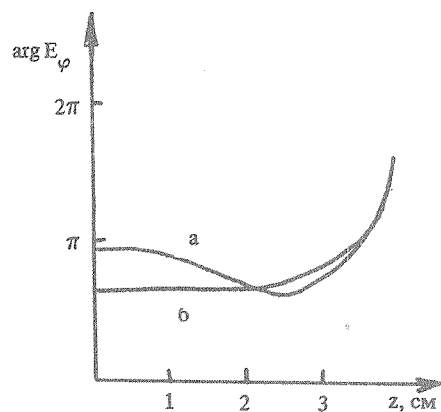


Рис. 3. Зависимость фазы поля E_φ от z при $r = R_b$; $\Omega/\gamma_0 \omega = 0,9$ в момент времени $t = 3,6$ нс (а); 6 нс (б),

Гиротрон обладает рядом преимуществ для генерации СВЧ излучения высокой мощности. В нем легко обеспечивается надежная селекция мод, что позволяет осуществить одномодовый режим генерации при диаметре волновода, превышающем длину волны в несколько раз (например, в экспериментах $4,5/2R_0 \sim 3\lambda$). Важно также, что СВЧ пробой на стенках волновода затруднен из-за малости амплитуды СВЧ поля и из-за ортогональности высокочастотного электрического и постоянного магнитного полей. Основной недостаток релятивистского гиротрона заключается в уменьшении КПД с ростом γ . Поэтому важный практический результат настоящей работы заключается в том, что при $\gamma \approx 2$ самосогласованная теория дает достаточно большое значение КПД ($\sim 15\%$).

Авторы благодарны А.А. Рухадзе и П.С. Стрелкову за полезные обсуждения.

ЛИТЕРАТУРА

- Кураев А. А. Теория и оптимизация электронных приборов СВЧ. Минск, Наука и техника, 1979.
- Богданов В. В., Кузлев М. В., Рухадзе А. А. Физика плазмы, 10, № 3, 548 (1984).
- Богданов В. В., Кузлев М. В., Рухадзе А. А. Краткие сообщения по физике, № 2, 17 (1986).
- Воронков С. Н. и др. ЖТФ, 52, № 1, 106 (1982).
- Богданов В. В. и др. ЖТФ, 53, № 1, 106 (1983).
- Братман В. Л. и др. Радиофизика, 16, № 4, 622 (1973).
- Братман В. Л., Петелин М. И. Радиофизика, 18, № 10, 1538 (1975).